

待ち行列網における待ち時間について

II) 島 武 (防衛大学校)

1.はじめに

計算機網の評価という需要により、近年待ち行列網の研究がさかんになり、理論も大いに発展した。中でも Baskett et al. [1], Kelly [9] 等の結果により、かなり広範な待ち行列網について、平衡状態分布を知ることができるようになった。平衡状態分布は、任意の一時点における、待ち行列網が取る状態の確率分布であり、これを平均系内客数、各ノードの利用率、単位時間当たりの平均退去数であるスループットなどが同一義的に求まる。これらはすべて、云わばシステム側にとって興味のある量であるが、別の立場、すなわち個々の客にとって興味のある特性量、例えは待ち時間や滞在時間のモーメントなどであるが、これらを評価することも必要であるが、平衡状態分布からは直接には結びつかない。待ち時間の分布などは、(任意時点ではなく)客の到着時点における状態分布、及びその特定の時間後の推移状態の分布に関連して求められるが、Little の公式のような他の理論を応用するかして求めなくてはならない。然しながら推移状態の分布の計算は困難な事が多く、Little の公式は滞在時間の期待値を求めるのに有効であり、滞在時間、待ち時間の分布に関する研究は少ない。ここでは 少なりながらも、また決して網羅的でもないが、この方面の研究の紹介を行う。

2. 滞在時間分布について

ここでは待ち時間とは一つのノードでサービスを受けた迄の待ち時間を意味し、ノード（またはネットワーク）に到着してからもう一つノード（ネットワーク）を退出する迄の時間を（系）滞在時間と呼ぶ。さて、滞在時間の分布を考えるとき、特定の客、例えはサービス操作が始まって最初に到着する客、二番目に到着する客、三番目の客等の滞在時間を問題にするのがではなく、一般の客の滞在時間の性質として、 $n \rightarrow \infty$ としたときの極限分布を考察してくる。従って、一時的に操作が始まっている時刻では極端状態、もしくは平衡状態にあると仮定して解析を進める事が多い。然し、この仮定の仕方に色々あり、これについては $M/M/1$ (到着率入, サービス率出, $\rho = \mu/\lambda < 1$) を考察してみる。仮定の仕方は時刻の定義であり、まず任意の時点を時刻 0 と定めれば、 $g(t)$ を時刻 0 での列の長さとし、

$$(2.1) \quad P(g(0) = t_k) = P(g(t) = t_k) = (1-\rho)\rho^{t_k} \quad (\text{for any } t, t_k = 0, 1, 2, \dots)$$

となる。 $t=0$ 時刻で平衡状態にある。また時刻 0 は任意に選んだ時点であるから、客がそこに丁度到着することはなく、ある経過後 $t_1 \geq 0$ に到着する。この客の待ち時間を W_1 とし、 $W_1 = 0$ とする確率を考える。もし $g(0) = 0$ ならば、必ず $W_1 = 0$ となり、また $g(0) \neq 0$ でも $(0, t_1)$ 間に $g(0)$ 人の客がすべてサービスされてしまうならば $W_1 = 0$ となるので 次が成立する。

$$(2.2) \quad P(W_1 = 0) > 1 - \rho$$

また、時刻 0 以後 n 番目に到着する客の待ち時間を W_n とすれば $P(W_n = 0)$ は

n に t_n の値が異なる。(等しくなる保証はない)。しかし多くの待行列論の序には $P(W_m=0) = 1-p$ ($m=0, 1, 2, \dots$) と書かれており、(2.2) と一致しない。これは A 「任意の客の到着した時点を 0 とし、その直前の列の長さ $g(0-)$ の分布が (2.1) の左边である」と仮定した場合の事で、 t_m と n 番目の客の到着時刻とすれば ($t_1 = 0$)、このとき次が成立する。

$$(2.3) \quad P_A(g(t_m-0)=k) = (1-p)p^k \text{ for all } m$$

前記の $P(W_m=0) = 1-p$ も $P_A(W_m=0) = 1-p$ ($m=0, 1, 2, \dots$) と書かれて正確に立つ。つまり P_A は A の条件付きのもとの確率測度であり、 P_A のもとではすべての客が確率的に同じ行動をとり、P のもとではどの時点をとってもシステムの確率的性質は同一と見える。このことより、P は連続時刻に関する定常、 P_A は到着時刻到着時にに関する定常とも呼ばれる。A と同様に D; 「一人の客の退去時点を d_m 、 $g(d_m+0)$ の分布が (2.1) の左边である」という条件の下での確率測度 P_D を d_1, d_2, d_3, \dots を退去時点列とすれば P_D のもとでは $d_1 = 0$ であり、 W_m を d_m に退去する客の待ち時とすれば

$$(2.4) \quad P_D(g(d_m+0)=k) = (1-p)p^k \text{ for all } m, \quad P_D(W'_m \leq x) = P_D(W_m \leq x) \text{ for all } m$$

等が成立する。また、 a_m は到着する客の滞在時間を s_m 、退去時刻を d_m とするとき $P_A(g(d_m+0)) (= P_A(g(t_m+s_m)))$ はやはり m によらず $P_D(g(d_m))$ とは別の概念であり、 $P_A(g(d_m))$ と $P_D(g(d_m))$ が等しいことは証明を要する。これに関しては次の事が一般に示されていく。[8] 証明はエルゴード性を利用している。すなはち確率変数 X と確率測度 P に対し $P(X)$ は P の下での X の分布を意味している。

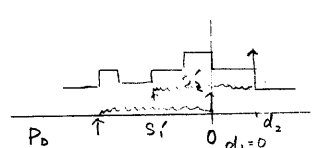
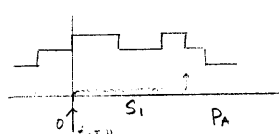
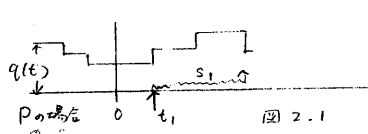
$$(2.5) \quad P_A(g(d_m)) = P_D(g(d_m)), \quad P_A(W_m) = P_D(W'_m) \text{ for all } m, m'$$

(2.5) は $M/M/1$ 以外のシステムには成立する。客向元の邊り起しが生ずる場合には $d_0' \leq d_1' \leq d_2' \leq \dots$ となることは限らない。

以上より、客に直接結ぶる量を計算をする時は P_A ではなく P_D で評価するのが適切であり、実際にもうどうさせてもいい。P, P_A , P_D の違いは図 2.1 のように示される。また次のような極限分布としても意味づけることができる。

$$(2.6) \quad P(g(t)) = \lim_{t \rightarrow \infty} \Pr\{g(t)\}, \quad P_A(g(t-)) = \lim_{m \rightarrow \infty} \Pr\{g(t_m-)\}, \quad P_D(g(t+)) = \lim_{m \rightarrow \infty} \Pr\{g(d_m+)\}$$

ここで $\Pr\{\cdot\}$ は任意の初期条件で定義されるものとする。



Jackson 型を、トワーランヒー、以上の事について結果を整理しておく。ノード i は $1, 2, \dots, M$ であり、ノード i への到着時点列、退去時点列をそれぞれ $\{t_{im}\}$ 、 $\{d_{im}\}$ 、 C_{im} 、 C'_{im} と t_{im} 、 d_{im} を惹き起す客、 $s_i(c_m)$ 等で c_m のノード i での滞在時間等を表すものとする。 $Q(t) = (q_1(t), q_2(t), \dots, q_M(t))$ は時刻 t における各ノードの長さを示すものとする。また簡便のために $t = t_{im}$ 、 d_{im} は $Q(t)$ では c_m の列の長さを示すものとする。こうすると「直前」「直後」の説明が省けた。P は C_{im} は勘定しないものとする。

時刻 t に関する定常 P_{Ai} , P_{Di} はそれを t_{im} , t_{dim} に関する定常を測度とする。 p_{ij} は routing 確率とする。まず開放系について次が成立する。

$$(2.7) \quad P(Q(t)) = P_{Ai}(Q(t)) = P_{Di}(Q(t)) = \prod_{i=1}^n f_i(q_i) \quad (Q = (q_1, q_2, \dots, q_M) の場合),$$

系内数 N の閉鎖系についても

$$(2.8) \quad P(Q(t)) = C_N \prod_i f_i(q_i), \quad P_{Ai}(Q(t)) = P_{Di}(Q(t)) = C_{N-1} \prod_i f_i(q_i) \quad (\sum q_i = N-1),$$

ここで $f_i(q_i)$ はノード i の積形式であり、 C_N は N の場合の正规化定数である。

(2.7), (2.8) についてには [7], [10], [17] 等を参照。また (2.5) に相等する式と (2) 開放系、閉鎖系いずれにも次が成立する。[8]

$$(2.9) \quad P_{Ai}(Q(t_{im} + S_i(c_{im}))) = P_{Di}(Q(t_{im})) \quad \text{for all } m, n.$$

3. 期待値の計算

前節の後半に引き続き、Jackson 型について考察する。一つのノード i の平均到着 L_i , そこへの平均到着率 λ_i がわかれば、Little の公式により、その滞在時間の期待値 α_i が $\alpha_i = L_i / \lambda_i$ で与えられる。この公式は応用範囲が元々、例えば客にタイマーがあり、タイマー毎の平均到着率がわかれば、そのタイマーの客の平均滞在時間も求まり、またシステム全体に適用すれば、系滞在時間の期待値、一つのノードの待ち列の長さ(サービス中の客は含まない)に適用すれば待ち時間の期待値が求まる。なお L_i , λ_i は測度 P , S_i は P_{Ai} での期待値であり。

$$E_P(g_i(t)) = \lambda_i E_{P_{Ai}}(S_i(c_{im})), \quad \lambda_i = E_P(N_i(0, 1)) = 1 / E_{P_{Ai}}(t_{im} - t_{im-1}),$$

のように表現される。ここで $N_i(0, 1)$ は単位時間区間 $[0, 1]$ にノード i に到着する人数、 E_P , $E_{P_{Ai}}$ はそれを P , P_{Ai} 上に持つ期待値を意味する。

次に、ノード i に到着した客の、その時点から系を退出するまでの残余滞在時間の期待値 R_i について考察する。定義により

$$R_i = E_{P_{Ai}}(S_i(c_{im}) + Z_i(c_{im})) = E_{P_{Ai}}(S_i(c_{im})) + E_{P_{Ai}}(Z_i(c_{im})).$$

ここで $Z_i(c_{im})$ は c_{im} のノード i を離れた後の滞在時間であるものを表す。前節で述べた如く $\alpha_i = E_{P_{Ai}}(S_i(c_{im}))$ は Little の公式により求まり、(2.8), (2.9) より

$$\begin{aligned} E_{P_{Ai}}(Z_i(c_{im})) &= \sum_j p_{ij} E_{P_{Ai}}(S_j(c_{im}) + Z_j(c_{im})) \\ &= \sum_j p_{ij} E(S_j + Z_j | Q(t_{im}) = (q_1, q_2, \dots, q_M)) P_{Ai}(Q(t_{im} + S_i(c_{im})) = (q_1, q_2, \dots, q_M)) \\ &= \sum_j p_{ij} R_j \end{aligned}$$

となり。 R_1, R_2, \dots, R_M は (1) する連立一次方程式

$$R_i = \alpha_i + \sum_j p_{ij} R_j \quad (i=1, 2, \dots, M)$$

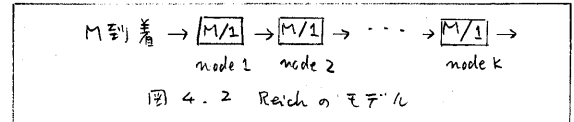
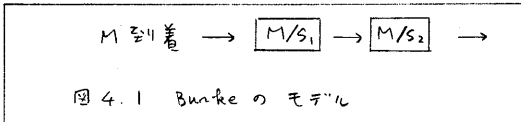
を得る。なお、これは BCMP モデルにも適用できる。

4. 滞在時間の独立性

Jackson型またはB.C.M.P型のモデル内の、ある性質を持つたパスを客が通過するとき、その客の各ノードでの滞在時間が互いに独立となることが知られています。これを簡単なモデルから順に追って説明します。

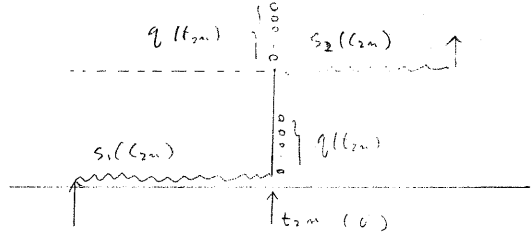
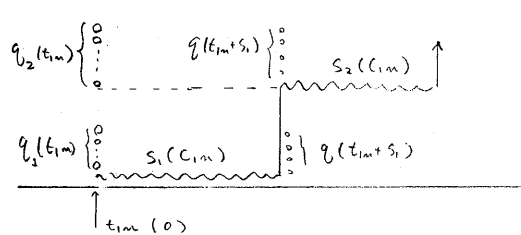
- Burke [3] の結果 図4.1のモデルにて2次が成立する。

$$(4.1) P_{A_2}(S_1(C_{2m}), S_2(C_{2m})) = P_{A_2}(S_1(C_{2m})) \cdot P_{A_2}(S_2(C_{2m}))$$



(4.1)はノード2に到着する時刻列(ノード1を退去する時刻列と一致)に関する定常分布度数の下では、すなもと、時刻0に1人の客がノード1からノード2に移り、その時刻でのノード1, 2の列の長さが独立である((2.9)の特別な場合)という条件の下では、その客のノード1, 2の滞在時間は独立であることを意味します。証明は P_{A_2} が $q_1(t_{2m}) \times q_2(t_{2m})$ が独立であることと、 $S_2(C_{2m})$ は $q_2(t_{2m})$ 、 $S_1(C_{2m})$ は $q_1(t_{2m})$ への2依存ですることから導かれます。この最後の事実は Reversibility から証明されました。また(4.1)から(2.9)を利用し次が導びかれました。(8) (4.1)と(4.2)の違いは図4.3で示されています。

$$(4.2) P_{A_1}(S_1(C_{1m}), S_2(C_{1m})) = P_{A_1}(S_1(C_{1m})) \cdot P_{A_1}(S_2(C_{1m}))$$



- Reich [13] の結果 図4.2のモデルにて2次が成立する。

$$(4.3) P_{A_2}(S_1(C_{2m}), S_2(C_{2m}), \dots, S_K(C_{2m})) = P_{A_2}(S_1(C_{2m})) \cdot P_{A_2}(S_2(C_{2m}), \dots, S_K(C_{2m}))$$

これもBurkeの結果と同じ方法で証明できますか。図4.1のモデルでは成立しない性質と(2) $S_3(C_{2m}), \dots, S_K(C_{2m})$ は $q_1(t_{2m})$ と独立であることを用いました。もしノード2が複数窓口ならば、遅延が生ずるところもあるので、 $q_1(t_{2m}) \times S_3(C_{2m})$ 等々は独立にはなりません。(4.3)から(2.9)を用いましたが、次に述べたLemoineの結果から(4.4)が得られます。

$$(4.4) P_{A_1}(S_1(C_{1m}), S_2(C_{1m}), \dots, S_K(C_{1m})) = \prod_{i=1}^K P_{A_1}(S_i(C_{1m}))$$

- Lemoine [11] の方法 $M/M/1$ で P_A のもとで S_1 が与えられたとき、 S_1 の間隔に退去する客の流れは到着と同じポアソン流に等しいことを導いた。すなはち Bayes の定理を用いて次式を導いた。

$$P_A(N(0, t) = k \mid S_1 = s) = e^{-\lambda t} (\lambda t)^k / k! \quad (k = 0, 1, 2, \dots, t \leq s)$$

Renyi の定理（任意の t につれて $P(N(0, t) = k) = e^{-\lambda t} (\lambda t)^k / k!$ をすれば $N(0, t)$ はポアソン過程である）を引用して証明している。これにより (4.4) の他に $M/1$ などノードが tree 形に連結している場合の独立性を導いた。

- Moving bottleneck さて、Jackson 型、B.C.M.P 型で、 $M/1$ (FIFO) 型のノードのみを移動するバスで、追いつしが生じないならば、そこでの滞在時間が独立になるという研究が知られてる。（Melamed [12], Walrand and Varaiya [17]）追いつしが生じないシステムとしては直列型システムもあるが、もう少し複雑でもいい。この条件を数式で示すのは複雑になるが Melamed [12] は moving bottleneck という言葉を使って説明している。すなはち、注目してある客 C が moving bottleneck ならば、C の各ノードでの滞在時間は互いに独立となるのであるが、図 4.4 でノード 1, 3 (どの model も $M/1$ FIFO 型) と迷子とき、破線のバス 1, 2, 3 と迷子客もいるが、C がノード 1 から 3 に移ったとき、ノード 2 は C より後方で到着した客は 1, 2, 3 と迷っても追いつくことはない。C は moving bottleneck であり、従って C の 1, 3 での滞在時間は独立となる。同様に図 4.5 につけてもノード 1, 2, 3, 4, 6 と迷子客は moving bottleneck であり、各ノードでの滞在時間は独立となる。なお他には 1, 2, 3, 3, 4, 2, 5 と迷子バスしかないものと見てよ。

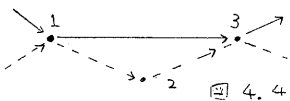


図 4.4



図 4.5

- Exit arc ノードの集合 V があり、そのノードから他のノードに移動する客は決して V のどのノードにも戻らないような構造になつてゐるとき、V から他のノードに行くアーチを Exit arc と呼ぶ。Tandem では、exit arc での客の流れはポアソンになつてゐる。（[3] [12] 参照）Tandem では後方のノードでもポアソン到着になつてゐる。

5. 開鎖系について、random walk の応用

開鎖系については、滞在時間の分布については既に述べたことはもう少しない。次の random walk の理論を利用して Chow [4], [5] の方法を紹介する。5.1 図のようなサイクリック系を考察する。この系では系滞在時間をサイクルタイムと呼び、ノード 1 やノード 2 の滞在時間の和である。ノード 2 に到着した時、 $q_1 = j$ 、 $q_2 = i$ ならば、 S_1 は j 個の指數分布の和と表もされたが、 S_2 は i ならば、 S_1 後に i から推移した列の長さに依り、この推移確率を計算しなければならない。 $M/M/1$ の記述 $A(t)$, $D(t)$ をそれもパラメータ入、もう 1 つに独立なボ

アソン過程とする。 $X(t) = A(t) - D(t)$, $Y(t) = \inf_{0 \leq u \leq t} X(u)$ とすると、 $M/M1$ の $g(t)$ は $X(t) + \max\{g(0), -Y(t)\}$ と記述できる。 $g(t)=0$ の状態では、 仮のサービスが行なわれるとみなしても、 指数分布の性質から矛盾が生じないからである。 これを固定して、 $A(t)=m$, $D(t)=n$ の条件の下では $m+n$ 個の点は $(0, t)$ に一様に分布 (2.13) から $X(t)=m-n$ になると (±1だけの) 変化の仕方は $m+nCm$ だけあり、 それらの \rightarrow が等確率で起る。(図5.2) また二つのバスの中でも、 $Y(t) \leq -k$

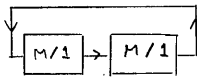


図5.1 系内数はN



図5.2

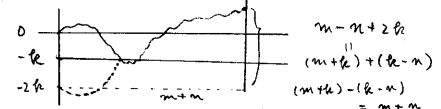


図5.3

となるものの数は鏡像の原理 (図5.3) により $m+nCm+n$ である。従って $X(t)=m-n$ のもとでは $P_{\text{A1}}(Y(t) > -k) = 1 - n+mCm+n / m+nCm$ が表される。すて (2.8) より $P_{\text{A1}}(g(0)=N-i-1, g_2(0)=i) = (1-p)/(1-p^N) \cdot p^i (= g_i \text{ である})$ ($p=M_1/M_2$) であるから、

$$P_{ij}(t) = \sum_m P_{\text{A1}}(g_2(t)=j | N_2(t)=N-i-1, g_2(0)=i, D_2(t)=m) = \sum_j \left\{ 1 - \frac{N!}{(m+j+1)! (m-j-1)!} \right\},$$

$$P_{\text{A1}}(S_1 + S_2 \leq s) = \sum_{i=0}^{N-1} \int_0^s \sum_{j=0}^{N-1} P(S_2 \leq s-t | g_2(0)=i, S_1=t, g_2(t)=j) P_{ij}(t) dP(S_1 \leq t) g_i$$

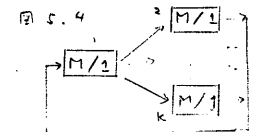
となり、整理すると $S_1 + S_2$ の密度関数は次のようになる。

$$\frac{M_2^N}{M_2^N - M_1^N} M_1 e^{-\mu_1 t} \frac{(m_1 t)^{N-1}}{(N-1)!} + \frac{M_1^N}{M_2^N - M_1^N} M_2 e^{-\mu_2 t} \frac{(m_2 t)^{N-1}}{(N-1)!}$$

簡単な $N=2$ の場合には、 1, 2, -1, 0, +1 バスは必ず同時に始まるから、 直接には、 サイクルタイムは $W_1 + \max(X_1, Y_1) + Y_2$ と表せる。ここで、 X_1, Y_1 はノード M_1, M_2 の独立な指数分布に従う確率変数であり、 W_1 は確率 $M_2/M_1 + M_2$ で、 $M_1/M_1 + M_2$ は X_2 となる確率変数である。

右図のような Central processor Model に対するても、 上記の理論は通用できる。ノードから出る確率ノード (122) は他のノードを直接的に P_{ij} で移動するから、 (10, 51) の列番号はホップ数に等于からである。然し表式は $M_1 = \mu_K$, $P_{ij} = P_{ik}$ の場合でも簡単になる。小さな N, K での数値計算では程度である。[4]

左の 図5.1 で示した循環系について、 サイクルタイムのラグス変換が Schasberger, Praduna [15] にあると Reiner [14] に紹介されているが、 そのような理論は本木下へ入手できることので解説を省く。



6. その他の系について

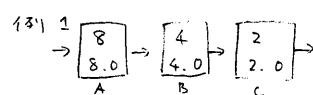
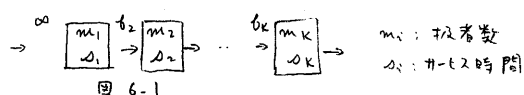
滞在時間の分布については、 ここでは取ったケースは、 種々式が成立し、 Bunkie の結果以外では、 3ページ - M/1, FIFO 型のノードに関するものばかりである。前者が 1, 順序が FIFO であるノードでは、 容同志の追加が生じる。これが、 待ち時間、 滞在時間の解消を容易にする一つの理由になつた。また追加が生ずる場合には (ネットワークではなく) 一つだけの窓口の滞在時間につけてもあまつ解消は行なわれない。ネットワークにつけては存在しない。しかし、 追加が生じるネットワークの一つに、 図6.1 のようある完数サービスの直列型待ち行列につけてはある程度の解消法 [16] が知られていく。

それを以下簡単に紹介する。

図 6.1 で m_i は中間スペースの大きさであり、 $0 \leq m_i \leq \infty$ 。 i -ドアの前には待つスペースが無限にあるものとする。 $b_i = \infty$ ならばブロッキングは生じないとなる。さて、時刻 0 では系内は空であり、客の到着時刻を t_1, t_2, \dots とすると、各客の退去時刻 d_1, d_2, \dots は次のように決定される。

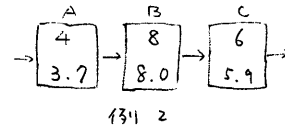
$$(6.1) \quad d_k = \max \{ d_{k-1} - m_i + s_i \ (i=1, 2, \dots, K), t_{k-1} + \sum_{j=1}^K s_j \} \quad (k=1, 2, 3, \dots, d_K = 0 \text{ for } k \geq 0)$$

これは、客の番号とノードの数の二重の帰納法により示される。(6.1) から、退去時点列は各ノードの大きさ、ノードの並び方に依存しないことがわかる。従って各客の系滞在時間 $d_k - t_k$ 及び $t_k \rightarrow \infty$ の極限分布が存在すれば、これもすべてノードの順序にまつよい。すなわち図 6.1 のモデルに対するのは、適当な順序の変更をし、 $b_i = \infty (i=1, 2, \dots, K)$ とし解析できる。以下例で説明する。



例 1 このモデルについては $C \rightarrow B \rightarrow A$ と並べかえると、B, A ではどんな到着の仕方に對しても待ち行列は生じない。併しあれ、到着がホワイトニット法。例 1 の滞在時間は $M/D/2$ の滞在時間 + $8.0 + 4.0$ と同じになる。

例 2 左図の場合には $A \rightarrow B \rightarrow C$ と並べかえても同じでも待ち行列は生じ得る。然し、B, C の総客数を ∞ とすれば B, C では待ち行列は生じない。こうすれば滞在時間は短くなるので、組合せを考えることになり、次の下限を得る。



$$\max \{ M/D/4 + 3.7 + 5.9, M/D/8 + 3.7 + 5.9, M/D/6 + 3.7 + 8.0 \} \leq \text{系滞在時間}$$

また、A の前に他のノード 総客数、サービス時間があると、 1.0 が $2, 2.0$ であるものを置くと A, B, C の前には待ち行列は生じない。余計なものを付ければ滞在時間は長くなるので、次の上限を得る。

$$\text{系滞在時間} \leq \min \{ M/D/1 + 3.7 + 8.0 + 5.9 - 1.0, M/D/2 + 3.7 + 8.0 + 5.9 - 2.0 \}$$

以上の理論は、一定サービスという条件のため、あまり有用ではないかも知れないが、計算機組における、ジョブをジョブのままではなく、マイクロプロセッサーのサイクルタイムに比較し得えたぐらの単位に分割して考察できるよう分解すれば応用できるのではないかと思われる。

References

- [1] Baskett, F., K.M.Chandy, R.R.Muntz and F.Palacios, "Open, Closed and Mixed Network of Queues with Different Classes of Customers," JACM, Vol.22, 1975, pp.248-260
- [2] Beutler, F.J., B.Melamed, "Decomposition and Customer Streams of Feedback Networks of Queues in Equilibrium," Opn.Res. Vol.26, 1978, pp.1059-1072
- [3] Burke, P., J., "The Output Process of a Stationary M/M/S Queueing System,"

- A.M.S. Vol.39, 1968, pp.1144-1152
- [4] Chow, We-Min, "The cycle time of a class of closed queueing network models," AFIPS Proc., 1978 Vol.47, pp.489-494
 - [5] Chow, We-Min, "The Cycle Time Distribution of Exponential Cyclic Queues," ACM, Vol.27, 1980, pp.281-286
 - [6] Jackson, J.R., "Jobshop-Like Queueing Systems," Manag. Sci., Vol.10, 1963, pp.131-142
 - [7] Kawashima, T., "Turnaround Time Equations in Queueing Networks," J.Opn.Res.J., Vol.21, 1978, pp.131-142
 - [8] Kawashima, T., "A Property of Two Palm Measures in Queueing Networks and its Applications," J.Opn.Res.J., Vol.21, 1978, pp.477-485
 - [9] Kelly, F.P., "Networks of Queues," Adv.Appl.Prob., Vol.8, 1978, pp.416-432
 - [10] Lavenberg, S.S., M. Reiser, "Stationary State Probabilities at Arrival Instants for Closed Queueing Networks with Multiple Type Customers," J.Appl.Prob., Vol.17, 1980, pp.1048-1061
 - [11] Lemoine, A.J., "Total Sojourn Time in Networks of Queues," Tech.Rep.No.79-020 -1, 1979, Systems Control, Inc., Palo Alto, Calif.
 - [12] Melamed, B., "Sojourn Times in Queueing Networks," Math.O.R. Vol.7, 1982 pp.223-244.
 - [13] Reich, E., "Note on Queues in Tandem," A.M.S., Vol.34, 1963, pp.338-341
 - [14] Reiser, M., "Calculation of Response-Time Distributions in Cyclic Exponential Queues," Perf.Eval. Vol.1, 1981, pp.331-333
 - [15] Schassberger, R., H. Daduna, "The time for a round trip in a cycle of exponential Queues," Proc. ORSA-TIMS Conf. FL, 1981
 - [16] Suzuki, T., T. Kawashima, "Reduction Methods for Tandem Queueing Systems," J.Opn.Res.J., Vol.17, 1974, pp.133-144
 - [17] Walrand, J., R. Varaiya, "Sojourn Times and the Overtaking Condition in Jacksonian Networks," Adv.Appl. Prob. Vol.12, 1980, pp.1000-1018
 - [18] Walrand, J., R. Varaiya, "Flows in Queueing Networks: A Martingale Approach," Math.O.R., Vol.6, 1981, pp.387-404